

**CATALOG KVARATSKHELIA OF EXTREME VALUES OF THE DEGREE OF  
POLARIZATION FOR 100 AREAS OF THE LUNAR SURFACE  
O.I. KVARATSKHELIA**

E. Kharadze National Astrophysical Observatory

Email: kvara\_otar@mail.ru

At the Abastumani Astrophysical Observatory, for 10 years (1976-1985), polarimetric observations of 100 areas of the lunar surface. The observations (with 40 cm refractor) were carried out with interference filters with the following effective wavelengths: 0.415  $\mu\text{m}$  (half-width of transmission 0.017  $\mu\text{m}$ ); 0.433(0.009); 0.448(0.012); 0.468(0.012); 0.533 (0.016); 0.641 (0.009); 0.670 (0.009); 0.704 (0.015); 0.783 (0.011); and without filter (BF) - in integrated light (0.38-0.80 microns). The electronic-optical part of the polarimeter and the principle of its operation, as well as the method of observation and data processing, can be found in detail in the monograph by O. Kvaratskhelia [1]. The accuracy of the data given in the monograph was often verified by repeated observations in 2005-2009. on the same telescope and with the same equipment [8 - 10]. Table 1 gives the names and selenographic coordinates ( $\lambda$  - longitude,  $\beta$  - latitude) of the centers, measured by us objects of the lunar surface in accordance with the complete map of the Moon [2]. The same areas with the corresponding numbers are marked with crosses on the illustrative map of the Moon (see Fig. 1).

Below, in the form of a catalog, we present the obtained values of the maximum polarization ( $P_{\text{max}}$ ) values for the 100 areas of the lunar surface we measured in five light wavelengths. This catalog also contains the minimum values of the degree of polarization ( $P_{\text{min}}$ ) of the same objects. Measurements in the range 0.38-0.80  $\mu\text{m}$  were performed in integral light using the same instrumentation system (telescope and polarimeter). Table 2 shows the albedo values for objects in

the catalog of O.I. Kvaratskhelia [1], taken from five different albedo maps of the Moon [3 - 7].  
Table and catalog numbers correspond.

### References

1. Kvaratskhelia O.I., Spectropolarimetry of the lunar surface and lunar soil samples. Bulletin Abastum. astrophysics. Observatory, 1988. No. 64, p. 312.
2. Complete map of the Moon, compiled under the guidance of Yu. N. Lipsky. M.Nauka. 1979.
3. Shorthill R.W., Saari J.M., Baird F.E., Le-Compte J.R. Photometric Properties of Selected Lunar Features.-NASA CR-1429, Washington. 1969.
4. Shevchenko V.V., On the nature of the albedo of the surface of the lunar ball. - Astron. J. 1974, 51, No. 5, 1064-1071.
5. Pohn H.A., Wildey R.L. A Photoelectric-photographic Study of the Normal Albedo of the Moon.-Geological Survey Professional Paper 599 E.1070, 20 p.
6. Evsyukov N.N., Albedo map of the visible hemisphere of the Moon. Naukova dumka. 1973.
7. Akimov L.A., Change in the brightness of lunar formations with phase. - Bulletin of KSU. 1982, no. 232, 12-22.
8. Kvaratskhelia O.I., International Scientific Conference "Problems of Modern Astrophysics" report "Spectropolarimetry of the Moon". Akhaltsikhe. 2015.
9. Kvaratskhelia O., Ivanidze R., Gigolashvili Sh. Spectropolarimetry of the Lunar Surface and Ground Samples. Astronomy and Astrophysics [Caucasus]1, 2016, pp.49-52.
10. Kvaratskhelia O., Chigladze R., et al. Multiparameter Atlas of the Moon. E.Kharadze Abastumani Astrophysical Odservatory. 1-180, 2019.

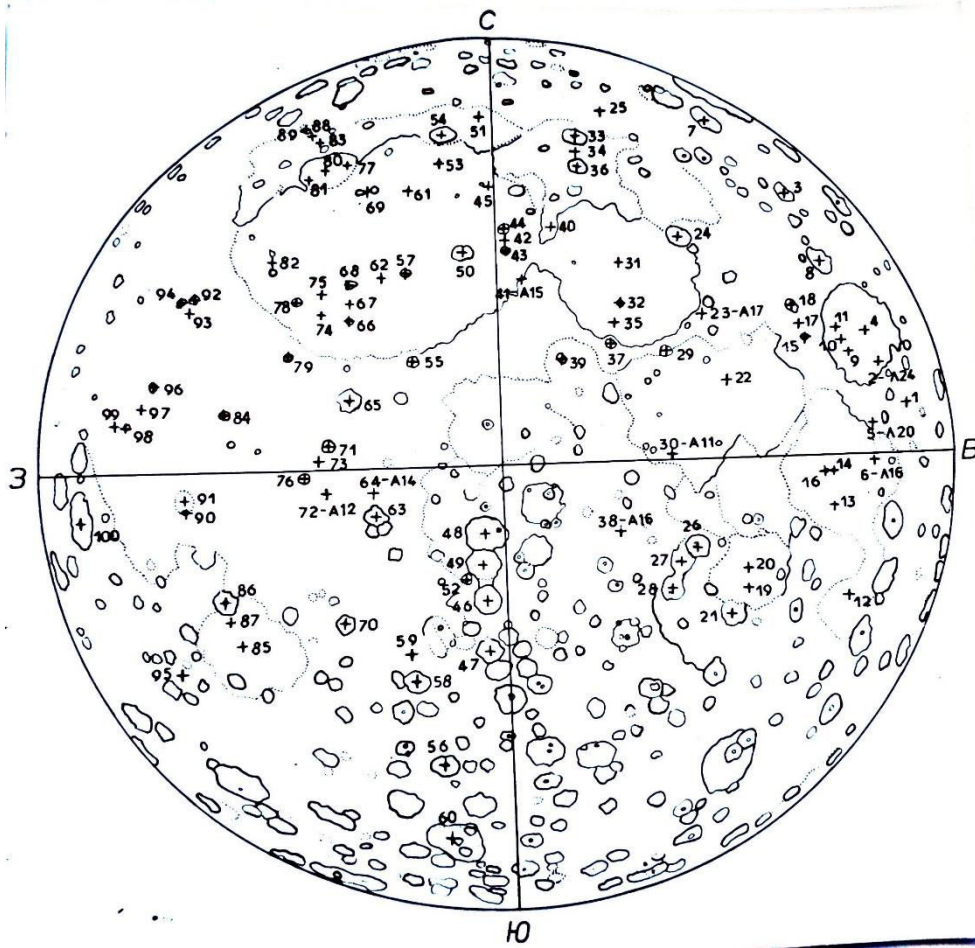


Figure: 1. Illustrative map of the Moon. The crosses indicate the centers of the surface areas we measured. The numbers of the crosses correspond to the numbers of the catalog in Table 1.

Table 1

N	Object no. according to Catalog of O.Kvaratskhelia	Selenographic		Diameter of measured area, arcsec
		$\lambda^{\circ}$	Longitude	
1.	Mare Undarum	+67.5	+7.0	7.5
2.	Landing sites "Luna-24"	+62.2	+12.8	15.1
3.	Messala C. (Crater)	+60.0	+39.0	7.5
4.	Mare Krisium (central part)	+59.0	+17.0	15.1
5.	Landing sites ("Luna-20")	+56.5	+3.5	15.1
6.	Landing sites "Luna-16"	+56.3	-0.7	15.1
7.	Endumion C	+56.3	+53.2	15.1
8.	CleomedesC	+55.8	+28.0	15.1
9.	Pikard C	+54.6	+14.4	1.5
10.	Mare Krisium ( N Pikar)	+53.7	+16.3	7.5
11.	Peirse C	+53.2	+ 18.2	1.5
12.	Mare Fecunditatis (S parts)	+53.0	-18.0	7.5
13.	Mare Fecunditatis (SW parts)	+49.0	-8.0	7.5
14.	Messier C	+47.7	-1.8	1.5
15.	Proklus C	+47.0	+16.0	3.0
16.	Pikering C	+46.9	-2.0	1.5
17.	Continent part (NProklus)	+46.4	+18.2	7.5
18.	Macrobius C	+46.0	+21.0	7.5
19.	Rosse C	+35.0	-17.8	1.5
20.	Mare Nectaris(central part)	+33.5	-14.7	7.5
21.	Fracastorius C	+33.0	-21.0	15.1
22.	Mare Tranquillitatis(central part)	+32.0	+11.0	7.5
23.	Landing sites ("Apollo-17")	+30.7	+20.2	7.5
24.	Posidonius C.	+30.0	+31.6	15.1
25.	Mare Frigorius(NE Galle)	+28.0	+56.0	7.5

26. theophilins C	+26.4	-11.3	15.1
27. Cyrilus C	+24.0	-13.0	15.1
28. Catharina C	+23.7	-18.0	15.1
29. Plinius C	+23.8	+15.0	3.0
30. Landing sites “Apollo—11”	+23.5	+0.7	15.1
31. Mare Serenitatis (central part)	+18.0	+28.0	7.5
32. Bessel C	+17.8	+21.6	1.5
33. Aristoteles C	+17.4	+50.0	15.1
34. Continent part (N Eudocus)	+17.0	+46.7	7.5
35. Mare Serenitatis (N Bessel)	+17.0	+19.0	7.5
36. Eudocus C	+16.6	+43.7	15.1
37. Menelaus	+16.0	+16.0	3.0
38. Landing site “Apollon-16”	+15.5	-9.0	15.1
39. Manilius C	+9.3	+14.2	3.0
40. Caucasus Montes	+9.0	35.0	7.5
41. Landing sites “Apollon-15”	+3.6	+26.1	7.5
42. Mare Imbrium(N Autoolykus)	+1.3	+32.0	7.5
43. Autolikus C	+1.3	+30.5	7.5
44. Aristillus C	+1.0	+33.7	7.5
45. Mons Piton	-1.2	+40.5	1.5
46. Arzachel C	-2.0	-18.5	7.5
47. Purbach C	-2.0	-25.3	7.5
48. Ptollemaus C	-2.2	-9.0	15.1
49. Alphonsus C	-3.0	-13.2	15.1
50. Archimedes	-4.0	+29.6	15.1
51. Mare Frigorius (central part)	-4.0	+58.0	7.5
52. Alpetragius C	-4.6	-16.0	3.0
53. Mons Pico	-9.0	+45.4	1.5
54. Plato C	-9.5	+51.5	15.1
55. Eratosthenes C	-11.3	+14.5	7.5
56. Tycho C	-11.3	-43.0	7.5

57. Timocharis C	-13.0	+26.5	7.5
58. Pitatus C	-13.5	-29.7	7.5
59. Mare Nubium (central part)	-14.0	-24.5	7.5
60. Klavius C	-14.7	-58.3	15.1
61. Mare Imbrium(central part)	-15.0	+41.0	7.5
62. Mare Imbrium(W Timocharis)	-16.5	+26.2	7.5
63. Fra Mauro C	-17.0	-6.0	7.5
64. loading sites "Apollon-14"	-17.5	-3.7	7.5
65. Copernicus C	-19.8	+9.5	15.1
66. Pytheas C	-20.5	+20.5	1.5
67. Mare Imbrium (N pytheas)	-20.7	+23.0	7.5
68. Lambert C	-20.8	+25.7	3.0
69. Mare Imbrium (W Le Verrier)	-21.6	+40.2	7.5
70. Bullialdus C	-22.2	-20.5	3.0
71. Reinhold C	-22.8	+3.0	3.0
72. Loading sites "Apollon-12"	-23.4	-3.2	7.5
73. OcaenusProcellarum (SW Reinhold)	-25.0	+1.0	7.5
74. Mare Imbrium (SE Euler)	-25.0	+21.5	7.5
75. Mare Imbrium(NE Euler)	-25.0	+24.5	7.5
76. Lancberg C	-26.7	-0.5	3.0
77. Sinus Iridum (E part)	-29.0	+46.0	7.5
78. Euler C	-29.2	+23.3	1.5
79. Mayer C	-29.5	+15.5	1.5
80. Sinus Iridum (central part)	-32.0	+44.5	7.5
81. Sinus Iridum (W part)	-34.0	+42.5	7.5
82. Mare Imbrium(N diophantus)	-34.5	+28.5	3.0
83. Continent part (NW bianchini)	-37.5	+49.4	3.0
84. Kepler C	-38.0	+8.0	3.0
85. Mare Humorum(central part)	-39.0	-24.0	7.5
86. Gassendi C	-39.7	-17.3	15.1
87. Mare Humorum (S Gassendi)	-40.0	-20.0	15.1

88. Mare Frigoris (SW Garpall)	-41.5	+51.3	7.5
89. Garpall C	-43.5	+52.4	3.0
90. Flamstiid C	-44.0	-4.5	1.5
91. Oceanus Procellarum(N Flamstid)	-44.0	-3.2	7.5
92. Aristarchus C	-47.4	+23.5	3.0
93. Aristarchus Region	-48.5	+22.2	3.0
94. Herodotus C	-49.6	+23.2	3.0
95. Continent part (SW Gavendis)	-50.0	-27.5	7.5
96. Marius C	-50.6	+11.8	3.0
97. Oceanus Procellarum (SW Marius)	-53.0	+9,0	7.5
98. Reiner	-55.0	+6.7	3.1
99. Reiner□	-58.5	+7.0	3.1
100. Grimaldi (central part)	-68.0	-5.0	7.5

CATALOG KVARATSKHELIA. Maximum values of the degree of polarization(Pmax)

N	Pmax (4190Å)	lgPmax	Pmax (4480Å)	lgPmax	Pmax (5350Å)	lgPmax	Pmax (6400Å)	lgPmax	Pmax (Int)	lgPmax (Int)
1	2	3	4	5	6	7	8	9	10	11
1	12,5	1,10	11,5	1,06	10,0	1,00	9,5	0,98		
2	16,5	1,22	14,3	1,16	13,0	1,11	11,0	1,04	11,5	1,06
3	7,0	0,84	6,7	0,83	6,2	0,79	5,0	0,70		
4	16,0	1,20	15,0	1,18	12,0	1,08	10,0	1,00		
5	9,5	0,98	8,0	0,90	6,0	0,78	5,8	0,76	6,0	0,78
6	18,5	1,27	17,0	1,23	14,0	1,15	12,2	1,09	12,5	1,10
7	7,2	0,86			6,5	0,81				
8	8,0	0,90	7,7	0,89	6,7	0,83	6,0	0,78		
9	15,0	1,18	14,5	1,16	12,0	1,08	9,5	0,98	9,5	0,98
10	14,0	1,15	13,0	1,11	10,5	1,02	9,0	0,95	10,0	1,00
11	14,1	1,15	13,2	1,12	10,5	1,02	8,7	0,94	9,5	0,98
12	15,0	1,18	14,0	1,15	10,5	1,02	8,5	0,93		
13	17,5	1,24	16,0	1,20	14,0	1,15	11,3	1,05	12,0	1,08
14									10,0	1,00
15	6,3	0,80	5,2	0,72	4,0	0,60	3,7	0,57	3,8	0,58
16	16,4	1,21	15,2	1,18	12,5	1,10	10,7	1,03	11,0	1,04
17	7,5	0,88	7,0	0,84	6,0	0,78	4,8	0,68	5,2	0,72
18	8,8	0,94	8,0	0,90	7,0	0,84	6,3	0,80	6,0	0,78
19	12,7	1,10	12,0	1,08	10,0	1,00	8,0	0,90	7,0	0,84
20	13,0	1,11	12,5	1,10	10,3	1,01	8,0	0,90	9,0	0,95
21	9,7	0,99	9,0	0,95	8,5	0,93	6,9	0,86	7,0	0,84
22	20,7	1,32	18,2	1,26	16,5	1,22	13,5	1,13	14,0	1,15
23	12,0	1,08	11,0	1,04	9,8	0,99	7,8	0,89	7,5	0,88
24	9,5	0,98	8,9	0,93	7,5	0,88	6,5	0,81	6,5	0,81
25	13,5	1,13	13,0	1,11	10,0	1,00	8,8	0,94		
26	6,2	0,79	6,5	0,81	5,3	0,72	5,0	0,70	5,0	0,70
27	6,4	0,81	5,8	0,76	5,3	0,72	4,7	0,67	4,5	0,65
28	7,0	0,84	6,5	0,81	5,8	0,76	5,0	0,70	5,0	0,70
29	13,5	1,13	11,5	1,06	10,5	1,02	7,0	0,84	8,0	0,90
30	14,6	1,16	14,0	1,15	13,0	1,11	11,5	1,06	13,5	1,13
31	18,5	1,27	16,0	1,20	14,0	1,15	11,0	1,04	12,0	1,08
32									10,5	1,02
33	9,0	0,95	8,0	0,90	7,0	0,84	6,0	0,78	6,0	0,78
34	10,0	1,00	9,5	0,98	8,0	0,90	7,5	0,88	6,0	0,78
35	15,5	1,19	17,0	1,23	14,0	1,15	11,0	1,04	11,5	1,06
36									5,5	0,74
37							5,5	0,74	6,0	0,78
38	7,8	0,89	7,5	0,88	6,0	0,78	5,5	0,74	5,5	0,74



1	2	3	4	5	6	7	8	9	10	11
39									6,0	0,78
40	8,5	0,93	8,0	0,90	7,3	0,86	6,0	0,78		
41	14,0	1,15	13,0	1,11	12,5	1,10	10,0	1,00	10,5	1,02
42									8,0	0,90
43									8,5	0,93
44									8,5	0,93
45									8,0	0,90
46	8,0	0,90	7,5	0,88	6,5	0,81	6,0	0,78	7,0	0,84
47	9,0	0,95	9,0	0,95	7,5	0,88	6,5	0,81	6,5	0,81
48	10,5	1,02	9,5	0,98	8,0	0,90	7,5	0,88	9,0	0,95
49	9,3	0,97	9,0	0,95	7,5	0,88	6,7	0,83	7,0	0,84
50	13,0	1,11	13,0	1,11	10,5	1,02	9,5	0,98	10,5	1,02
51	12,5	1,10	12,5	1,10	10,0	1,00	8,5	0,93	10,0	1,00
52	9,0	0,95	9,0	0,95	8,0	0,90	6,5	0,81	7,0	0,84
53									6,5	0,81
54	14,7	1,17	14,0	1,15	12,0	1,08	10,5	1,02	13,0	1,11
55	10,5	1,02	11,0	1,04	9,0	0,95	7,5	0,88	9,0	0,95
56	7,0	0,84	7,0	0,84	6,0	0,78	5,0	0,70	5,0	0,69
57	10,5	1,02	10,0	1,00	9,5	0,98	7,7	0,89	10,0	1,00
58	11,0	1,04	10,0	1,00	9,5	0,98	7,0	0,84	8,5	0,93
59	16,0	1,20	15,0	1,18	13,0	1,11	11,0	1,04		
60	5,5	0,74	5,3	0,72	4,5	0,65	3,8	0,58		
61	20,0	1,30	19,0	1,28	17,5	1,24	12,8	1,11		
62	16,0	1,20	15,0	1,18	13,0	1,11	10,5	1,02	12,5	1,10
63	11,0	1,04	10,0	1,00	8,5	0,93	6,7	0,83		
64	15,0	1,18	14,5	1,15	12,5	1,10	10,0	1,00	10,0	1,00
65	8,0	0,90	7,5	0,88	6,0	0,78	6,0	0,78	6,0	0,78
66							7,0	0,84	9,0	0,95
67							12,5	1,10	15,0	1,18
68							12,0	1,08	12,0	1,08
69			15,3	1,18	12,0	1,08	14,5	1,16	15,0	1,18
70	10,0	1,00	9,5	0,98	7,0	0,84	6,7	0,83	7,0	0,84
71	9,5	0,98	8,5	0,93	8,0	0,90	7,2	0,86	8,5	0,93
72	16,5	1,22	15,0	1,18	14,0	1,15	11,5	1,06	12,0	1,08
73	13,5	1,15	13,0	1,11	11,0	1,04	9,0	0,95	9,5	0,98
74									13,5	1,13
75			17,0	1,23			12,2	1,09	13,5	1,13
76	11,0	1,04	10,0	1,00	9,0	0,95	8,0	0,90	8,5	0,93
77			13,3	1,12			10,7	1,03	11,5	1,06
78			11,0	1,04			8,0	0,90	9,0	0,95
79			9,0	0,95			7,2	0,86	7,5	0,88
80	17,0	1,23	15,0	1,18	13,0	1,11	11,0	1,04	12,0	1,08
81									11,5	1,06
82			14,0	1,15	11,8	1,07	10,2	1,01	12,5	1,10

1	2	3	4	5	6	7	8	9	10	11
83			8,7	0,90	6,8	0,83	5,8	0,76		
84	10,0	1,00	8,5	0,93	7,0	0,86	6,8	0,83	6,8	0,83
85	20,7	1,32	19,5	1,29	16,0	1,20	13,7	1,14	14,0	1,15
86	10,0	1,00	8,5	0,93	8,0	0,90	7,0	0,84	6,5	0,81
87	23,0	1,36	22,0	1,34	18,5	1,27	16,0	1,20	16,0	1,20
88			8,5	0,93	7,7	0,89	6,5	0,81	7,5	0,88
89			8,0	0,90						
90	21,0	1,32	18,5	1,27	14,5	1,16	12,8	1,11		
91	24,0	1,38	28,5	1,35	18,0	1,25	17,0	1,23	18,0	1,25
92	6,5	0,85	5,8	0,76	4,6	0,66	4,0	0,60	4,2	0,62
93	15,0	1,18	14,0	1,15	11,5	1,06	10,5	1,02	10,0	1,00
94	12,0	1,08	10,5	1,02	9,5	0,98	8,5	0,93	9,5	0,98
95	7,3	0,86	7,0	0,84	5,8	0,76	5,8	0,76		
96	21,0	1,32	20,0	1,30	17,0	1,23	14,5	1,16	14,0	1,15
97	21,0	1,32	20,0	1,30	17,0	1,23	14,2	1,15	14,5	1,16
98	20,0	1,30	19,0	1,28	16,0	1,20	14,0	1,15	14,5	1,16
99	16,0	1,20	15,0	1,18	12,0	1,08	9,2	0,96	10,0	1,00
100	13,5	1,13	13,5	1,13	12,0	1,08	11,0	1,04		

## CATALOG KVARATSKHELIA

The minimum values of the degree of polarization (Pmin)

	Pmin (Int)	Pmin (4480Å)	lgPmin	Pmin (6400Å)	lgPmin
1	2	3	4	5	6
1	1,07	1,04	0,03	1,20	0,08
2	1,17	1,20	0,08	1,21	0,08
3	1,08	1,08	0,03	1,08	0,03
4	1,07	1,07	0,03	1,07	0,03
5	1,21	1,27	0,10	1,22	0,09
6	1,25	1,11	0,04	1,37	0,14
7	0,93	0,93	-0,03	0,93	-0,03
8	1,14	1,04	0,02	1,04	0,02
9	1,13	1,10	0,04	1,10	0,04
10	1,16	1,20	0,08	1,20	0,08
11	1,11	1,10	0,04	1,10	0,04
12	1,24	1,10	0,04	1,20	0,08
13	1,12	1,10	0,04	1,25	0,10
14	1,00	1,00	0,00	1,00	0,00

1	2	3	4	5	6
15	0,62	0,80	-0,10	0,70	-0,15
16	1,00	1,00	0,00	6,00	0,00
17	1,05	1,10	0,04	1,10	0,04
18	1,05	1,10	0,04	1,10	0,04
19	1,05	10,00	0,00	1,00	0,00
20	1,22	1,20	0,08	1,30	0,11
21	1,19	12,00	0,08	1,20	0,08
22	1,17	1,15	0,06	1,27	0,10
23	1,14	1,15	0,06	1,27	0,10
24	1,09	1,15	0,06	1,13	0,05
25	1,09	1,13	0,05	1,25	0,10
26	0,82	0,91	-0,04	0,98	-0,01
27	0,95	0,95	-0,02	0,95	-0,02
28	1,01	1,00	0,00	1,00	0,00
29	1,05	0,95	-0,02	0,95	-0,02
30	1,20	1,12	0,05	1,29	0,11
31	1,10	1,12	0,05	1,23	0,09
32	1,11	1,10	0,04	1,10	0,04
33	1,16	1,10	0,04	1,18	0,07
34	1,15	1,15	0,06	1,23	0,09
35	1,12	1,18	0,07	1,25	0,10
36	1,10	1,00	0,00	1,00	0,00
37	1,01	1,00	0,00	1,00	0,00
38	1,16	1,19	0,08	1,19	0,08
39	1,10	1,10	0,04	1,10	0,04
40	1,20	1,23	0,09	1,26	0,10
41		1,16	0,06	1,15	0,06
42	1,16	1,16	0,06	1,25	0,10
43	1,20	1,07	0,03	1,07	0,03
44	1,11	1,20	0,08	1,20	0,08
45	1,13	1,13	0,05	1,10	0,04
46	1,10	1,20	0,08	1,20	0,08
47	1,16	1,20	0,08	1,20	0,08
48	1,17	1,19	0,08	1,25	0,10
49	1,11	1,10	0,04	1,17	0,07
50	1,20	1,12	0,05	1,17	0,07
51	1,30	1,20	0,08	1,25	0,10
52	1,00	1,00	0,00	1,00	0,00
53	1,05	1,10	0,04	1,10	0,04
54	1,16	1,16	0,06	1,33	0,12
55	1,00	1,00	0,00	1,00	0,00
56	0,60	0,75	-0,12	0,67	-0,17
57	1,30	1,20	0,08	1,20	0,08
58	1,18	1,18	0,07	1,20	0,08

1	2	3	4	5	6
59	0,94	0,94	-0,03	1,10	0,04
60	1,01	1,00	0,00	1,00	0,00
61	1,07	1,04	0,02	1,12	0,05
62	1,27	1,25	0,10	1,20	0,08
63	1,07	1,07	0,03	1,07	0,03
64	1,10	1,14	0,06	1,13	0,05
65	0,74	0,72	-0,14	0,83	-0,08
66	1,05	1,05	0,02	1,00	0,00
67	1,15	1,15	0,06	1,20	0,08
68	1,20	1,20	0,08	1,20	0,08
69	1,10	1,22	0,09	1,25	0,10
70	1,13	1,16	0,06	1,10	0,04
71	1,21	1,21	0,08	1,20	0,08
72	1,05	1,10	0,04	1,12	0,05
73	1,11	1,11	0,04	1,20	0,08
74	1,21	1,21	0,08	1,25	0,10
75	1,20	1,23	0,09	1,25	0,10
76	1,12	1,12	0,05	1,10	0,04
77	1,30	1,30	0,11	1,30	0,11
78	1,21	1,21	0,08	1,20	0,08
79	1,12	1,12	0,05	1,10	0,04
80	1,25	1,15	0,06	1,30	0,11
81	1,30	1,30	0,11	1,30	0,11
82	1,31	1,01	0,00	1,20	0,08
83	1,15	1,10	0,04	1,10	0,04
84	0,85	0,99	0,00	0,97	-0,01
85	1,11	1,08	0,03	1,16	0,06
86	1,12	0,85	-0,07	0,84	-0,08
87	1,19	1,19	0,08	1,25	0,10
88	1,23	1,13	0,05	1,20	0,08
89	1,16	1,10	0,04	1,10	0,04
90	1,07	1,07	0,03	1,10	0,04
91	1,11	1,15	0,06	1,09	0,04
92	0,66	0,72	-0,14	0,69	-0,16
93	1,14	1,03	0,01	0,97	-0,01
94	1,05	1,05	0,02	1,10	0,04
95	1,09	1,09	0,04	1,10	0,04
96	1,19	1,10	0,04	1,25	0,10
97	1,20	1,20	0,08	1,25	0,10
98	1,03	0,97	-0,01	1,06	0,02
99	1,23	1,08	0,03	1,28	0,11
100	1,30	1,11	0,04	1,20	0,08

Albedo values for objects from the Catalog Kvaratskhelia Table 2

N	$\rho[3]$ 4500Å	$\lg\rho[3]$	$\rho[4]$ 4500Å	$\lg\rho[4]$	$\rho[5]$ 5500Å	$\lg\rho[5]$	$\rho[6]$ 5500Å	$\lg\rho[6]$	$\rho[7]$ 6300Å	$\lg\rho[7]$
1	4	5	2	3	11	6	7	8	9	10
1	9,0	0,95	10,8	1,03	9,0	0,95	8,7	0,94	6,60	0,82
2	7,0	0,84	11,0	1,04	9,0	0,95	8,8	0,94	7,16	0,85
3	13,0	1,11	14,8	1,17	13,5	1,13	16,7	1,22	10,23	1,01
4	7,0	0,84	7,1	0,85	9,3	0,97	9,2	0,97	7,08	0,85
5	11,0	1,04	14,0	1,15	12,7	1,10	13,6	1,13	10,71	1,03
6	7,0	0,84	7,0	0,85	8,7	0,94	8,1	0,90	5,89	0,77
7	13,0	1,11	15,7	1,20	13,7	1,14	11,9	1,07	9,44	0,98
8	12,5	1,10	15,0	1,18	13,7	1,14	12,3	1,09	12,30	1,09
9	7,0	0,84	7,7	0,89	10,8	1,03	9,6	0,98	8,71	0,94
10	7,9	0,90	7,9	0,90	9,9	1,00	9,6	0,98	7,67	0,88
11	7,8	0,89	8,0	0,90	9,6	0,98	9,8	1,00	8,91	0,95
12	8,0	0,90	7,8	0,89	11,6	1,06	10,0	1,00	8,51	0,93
13	7,0	0,84	7,1	0,85	9,2	0,96	9,0	0,95	7,08	0,85
14	7,1	0,85	7,1	0,85	9,6	0,98	9,6	0,98	9,33	0,97
15	17,0	1,23	14,5	1,16	18,6	1,27	21,0	1,38	16,22	1,21
16	7,3	0,86	7,1	0,85	9,5	0,98	9,6	0,98	9,33	0,97
17	15,5	1,19	14,2	1,15	16,4	1,21	14,3	1,15	11,75	1,07
18	13,0	1,11	12,0	1,08	13,0	1,11	13,1	1,12	11,09	1,04
19	8,0	0,90	8,0	0,90	10,2	1,01	12,2	1,09	11,09	1,04
20	8,0	0,90	8,0	0,90	10,5	1,02	10,1	1,00	8,51	0,93
21	9,0	0,95	11,5	1,06	11,4	1,06	11,5	1,06	9,44	0,97
22	7,0	0,84	7,0	0,84	8,5	0,93	7,7	0,89	5,96	0,78
23	9,0	0,95	8,6	0,93	11,4	1,06	11,5	1,06	8,91	0,95
24	12,0	1,08	9,5	0,98	12,7	1,10	13,0	1,11	10,72	1,03
25	8,1	0,91	9,0	0,95	10,8	1,03	10,6	1,02	9,12	0,96
26	16,0	1,20	13,5	1,13	14,6	1,16	17,9	1,85	15,85	1,20
27	16,0	1,20	14,0	1,15	15,6	1,19	19,6	1,29	17,78	1,25
28	15,0	1,18	14,0	1,15	16,0	1,20	16,7	1,22	13,80	1,14
29	8,5	0,93	7,0	0,84	10,6	1,02	13,1	1,11	10,59	1,02
30	7,0	0,84	7,0	0,84	9,4	0,97	8,2	0,91	7,00	0,84
31	7,0	0,84	7,0	0,84	9,9	1,00	9,4	0,97	7,85	0,90
32	7,3	0,86	7,0	0,84	10,2	1,01	10,1	1,00	8,91	0,95
33	11,0	1,04	10,3	1,01	13,7	1,14	17,5	1,24	11,22	1,05
34	12,5	1,10	11,0	1,04	12,0	1,08	12,6	1,10	9,88	1,00
35	7,0	0,84	7,5	0,88	9,8	0,99	9,2	0,97	7,50	0,88
36	13,0	1,11	12,0	1,08	14,6	1,16	15,1	1,18	11,61	1,06
37	9,5	0,98	7,9	0,90	16,9	1,23	16,0	1,20	13,96	1,14
38	13,5	1,13	14,0	1,15	15,1	1,18	15,1	1,18	11,88	1,07
39	12,0	1,08	7,2	0,86	14,2	1,15	15,1	1,18	11,75	1,07

1	4	5	2	3	11	6	7	8	9	10
40	13,0	1,11	11,0	1,04	13,8	1,14	14,3	1,15	11,09	1,04
41	8,5	0,93	9,0	0,95	10,8	1,03	8,9	0,94	10,47	1,02
42	9,0	0,95	9,0	0,95	11,5	1,06	11,8	1,07	9,77	0,99
43	9,5	0,98	9,0	0,95	12,2	1,09	12,1	1,08	9,66	0,98
44	10,0	1,00	8,0	0,90	7,7	1,10	12,1	1,08	9,88	0,99
45	8,5	0,93	8,1	0,91	10,5	1,02	12,4	1,08	11,09	1,04
46	12,9	1,11	12,0	1,08	14,6	1,16	15,5	1,19	12,30	1,09
47	12,0	1,08	12,1	1,08	13,0	1,11	12,9	1,11	11,09	1,04
48	10,0	1,00	12,0	1,08	12,8	1,11	12,9	1,11	10,00	1,00
49	10,0	1,00	11,8	1,07	13,4	1,13	13,3	1,12	11,09	1,04
50	7,3	0,86	8,0	0,90	10,8	1,03	10,3	1,01	8,61	0,93
51	8,0	0,90	13,0	1,11	10,3	1,02	10,5	1,02	8,71	0,94
52	11,0	1,04	12,0	1,08	12,9	1,11	12,9	1,11	11,35	1,05
53	8,0	0,90	11,0	1,04	11,4	1,06	12,3	1,08	12,59	1,10
54	11,0	1,04	12,0	1,08	9,3	0,97	9,3	0,97	7,16	0,85
55	9,0	0,95	7,7	0,89	11,4	1,06	10,0	1,00	10,59	1,02
56	18,0	1,25	16,0	1,20	16,2	1,21	19,3	1,28	16,03	1,20
57	9,0	0,95	7,5	0,88	11,6	1,06	12,8	1,11	9,66	0,98
58	8,0	0,90	8,5	0,93	10,8	1,03	10,7	1,02	9,12	0,96
59	7,0	0,84	7,0	0,84	9,0	0,95	8,5	0,92	6,61	0,82
60	16,0	1,20	17,0	1,23	16,0	1,20	17,8	1,25	13,96	1,14
61	7,1	0,85	7,1	0,85	9,3	0,97	9,3	0,97	7,50	0,88
62	7,0	0,84	7,4	0,87	9,5	0,98	9,4	0,97	6,76	0,83
63	8,9	0,95	7,9	0,90	12,0	1,08	12,4	1,10	9,77	0,99
64	9,0	0,95	7,5	0,88	12,0	1,08	12,4	1,10	9,44	0,98
65	15,0	1,18	12,4	1,09	15,5	1,19	17,3	1,23	12,88	1,11
66	7,5	0,88	7,6	0,88	10,8	1,03	13,1	1,12	11,35	1,05
67	7,0	0,84	7,3	0,86	8,5	0,93	9,5	0,89	7,58	0,88
68	7,0	0,84	7,0	0,84	9,4	0,97	9,9	1,00	8,51	0,93
69	7,0	0,84	7,0	0,84	8,5	0,93	8,2	0,95	6,31	0,80
70	11,0	1,04	7,0	0,84	11,4	1,06	14,0	1,15	13,18	1,12
71	10,0	1,00	9,3	0,97	11,7	1,07	11,0	1,04	10,23	1,01
72	7,0	0,84	7,5	0,88	9,5	0,98	9,6	0,98	7,08	0,85
73	8,0	0,90	7,9	0,90	10,8	1,03	10,7	1,02	7,67	0,88
74	7,5	0,88	7,7	0,89	9,6	0,98	9,5	0,98	7,08	0,85
75	10,2	1,01	7,2	0,86	9,5	0,98	9,7	0,98	7,08	0,85
76	7,9	0,90	7,5	0,88	11,1	1,04	12,8	1,11	9,84	0,99
77	7,4	0,87	7,5	0,88	9,5	0,98	8,9	0,94	7,58	0,88
78	7,8	0,89	7,1	0,85	11,4	1,06	13,2	1,12	7,00	0,84
79	9,0	0,95	9,0	0,95	12,0	1,08	15,3	1,18	10,12	1,00
80	7,1	0,85	7,0	0,84	9,1	0,96	9,3	0,97	7,67	0,88
81	7,4	0,87	7,4	0,87	9,2	0,96	9,7	0,98	10,47	1,02
82	7,0	0,84	7,2	0,86	9,5	0,98	11,5	1,06	7,58	0,88
83	12,0	1,08	12,0	1,08	12,7	1,10	14,5	1,16	10,59	1,02

1	4	5	2	3	11	6	7	8	9	10
84	10,8	1,03	11,0	1,04	12,8	1,11	16,6	1,22	11,75	1,07
85	6,8	0,83	7,0	0,84	8,0	0,90	8,2	0,98	6,53	0,81
86	9,0	0,95	8,0	0,90	11,4	1,06	14,4	1,15	11,61	1,06
87	6,0	0,78	7,0	0,84	7,8	0,89	7,7	0,88	5,82	0,76
88	10,5	1,02	10,5	1,02	11,4	1,06	12,6	1,10	6,46	0,81
89	11,0	1,04	9,5	0,98	11,4	1,06	14,6	1,16	8,32	0,92
90	6,1	0,78	6,5	0,81	7,9	0,90	10,4	1,02	8,81	0,94
91	6,0	0,78	6,5	0,81	7,6	0,88	7,4	0,87	5,43	0,73
92	12,0	1,34	10,0	1,00	12,7	1,10	20,4	1,31	17,78	1,25
93	8,0	0,90	8,0	0,90	9,5	0,98	10,9	1,04	8,41	0,92
94	9,0	0,95	9,5	0,98	12,7	1,10	11,9	1,07	12,30	1,09
95	13,0	1,11	12,7	1,10	13,4	1,13	18,3	1,26	10,59	1,02
96	6,3	0,80	6,4	0,81	8,1	0,91	9,6	0,97	6,46	0,81
97	6,6	0,82	6,7	0,83	7,9	0,90	9,4	0,97	6,31	0,80
98	6,3	0,80	7,0	0,84	7,9	0,90	10,0	1,00	7,24	0,86
99	7,0	0,84	8,2	0,91	7,4	0,87	12,9	1,11	8,91	0,95
100	6,7	0,83	8,9	0,95	8,9	0,95	8,8	0,98	6,53	0,81